

СПЕКТРИ КВАЗІЧАСТИНОК У БАГАТОШАРОВИХ НАПІВПРОВІДНИКОВИХ НАНОГЕТЕРОСИСТЕМАХ

М. В. Ткач, О. М. Войцехівська, В. А. Головацький, О. М. Маханець, А. М. Гришук
Чернівецький національний університет ім. Ю. Федьковича
вул. Коцюбинського, 2, Чернівці, UA-58012, Україна
(Отримано 18 жовтня 2006 р.)

Зроблено огляд теоретичних праць, що стосуються спектрів квазічастинок (електронів, дірок, екситонів) у напівпровідникових закритих та відкритих наногетеросистемах (класичних квантових точках, циліндричних квантових дротах). Дослідження виконано в моделі ефективних мас та прямокутних потенціалів. Ця модель, хоч і проста, але, крім того, що дає непогане узгодження з експериментом, придатна для застосування в теорії взаємодії електронів, дірок, екситонів із фононами в наногетеросистемах, де інші, детальніші моделі нашттовхуються на математичні проблеми.

У статті докладно проаналізовано властивості спектрів електронів, дірок, екситонів у багатошарових сферичних квантових точках і циліндричних квантових дротах. Установлено фізичні причини подібностей і відмінностей спектрів квазічастинок у відкритих і закритих наногетеросистемах.

Ключові слова: сферична наногетеросистема, циліндричний квантовий дріт, енергетичний спектр, хвильова функція.

PACS number(s): 73.21.Fg, 73.21.Hb, 73.21.La

І. СПЕКТРИ КВАЗІЧАСТИНОК У СКЛАДНИХ ВІДКРИТИХ І ЗАКРИТИХ СФЕРИЧНИХ НАНОГЕТЕРОСИСТЕМАХ

Теорія спектрів квазічастинок (електронів, дірок, екситонів, фононів) у простих і складних закритих квантових точках, квантових дротах, квантових ямах уже розроблена [1–4] і в основних рисах відповідає експериментальним дослідженням [5–8]. Що ж до відкритих наносистем, із яких квазічастинки можуть виходити і здійснювати вільний рух у зовнішньому середовищі, то теорія квазістаціонарних спектрів лише починає розвиватися [9–15]. Подібний стан справ і в теорії спектрів квазічастинок у комбінованих системах, які містять нанoelementами складові різних розмірностей (квантові точки (КТ), квантові дроти (КД), квантові ями (КЯ)), — вона практично відсутня, хоча такі наносистеми створені вже давно.

Формально теорія спектрів квазічастинок у квантових точках почала розвиватися ще тоді, коли не були сформовані самі поняття КТ, КД, КЯ. Просто внаслідок розвитку квантової механіки були розв'язані класичні задачі Шредингера про спектр квазічастинок з масою m у безмежному чи скінченному (V) прямокутному потенціалі у сфері, циліндрі та прямокутному паралелепіпеді [16,17]. Уже тоді було встановлено, що в ділянці енергій $E < V$ стаціонарний і дискретний спектри квазічастинок, хоча і значно відрізнялись між собою залежно від просторової форми об'єктів, у яких вони перебували, але й мали спільну рису: зі збільшенням об'єму цих об'єктів усі спектри зміщувались у бік менших енергій.

Зразу ж після експериментального відкриття напівпровідникових КТ CdSe у склі у статті [5] і в багатьох наступних працях сформовано саме поняття напівпровідникової КТ як деякого просторового нанорозмірного утворення в середовищі. Невдовзі з'явилися перші теоретичні моделі, які описували узгоджені з експериментом спектри електронів, дірок, екситонів у простих сферичних КТ у середовищі.

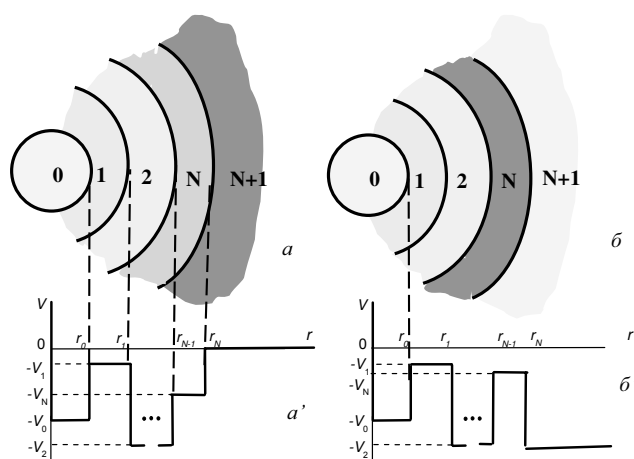


Рис. 1. Геометричні схеми та потенціали: а — закритої і б — відкритої багатошарових сферичних квантових точок (БСКТ).

Серед різних мікро- і макроскопічних підходів достатньо дієвою виявилася модель ефективних мас і скінченних прямокутних потенціалів, яка для КТ не дуже малих розмірів давала змогу не лише знайти

енергетичний спектр, але й отримати хвильові функції в такому вигляді, що їх можна використати для розрахунку взаємодії електронів, дірок, екситонів з іншими квазічастинками, зокрема з фононами [18,19].

Розвиток експериментальних можливостей (зокрема метод йонного заміщення) привів до створення багатопарових КТ різної форми [7,8]. Одночасно почала розвиватись теорія спектрів квазічастинок у багатопарових КТ, КД, КЯ [1,11–15].

Спочатку була розроблена теорія спектрів електронів, дірок, екситонів і фононів для закритих наносистем (КТ, КД), а останніми роками і для відкритих теж. Наносистема вважається закритою або відкритою, якщо потенціал квазічастинки в зовнішньому середовищі найбільший або найменший стосовно потенціалів складових наносистеми (рис. 1).

Теорія спектрів і хвильових функцій електронів і дірок для складних багатопарових наносистем (закритого й відкритого типу) в моделі ефективної маси та прямокутного потенціалу будується так.

Розв'язується стаціонарне рівняння Шредингера

$$\left[-\frac{\hbar^2}{2} \nabla \frac{1}{m(r)} \nabla + V(r) \right] \Psi_{nlm}(\mathbf{r}) = E_{nl} \Psi_{nlm}(\mathbf{r}) \quad (1)$$

з відомими ефективними масами й потенціалами в кожному шарі наносистеми

$$V(r) = -\sum_{i=0}^{N+1} V_i \sigma_i(r), \quad m(r) = \sum_{i=0}^{N+1} m_i \sigma_i(r), \quad (2)$$

$$\sigma_i(r) = \begin{cases} 1, & r_{i-1} \leq r \leq r_i \\ 0, & \text{в іншій ділянці} \end{cases} \quad (3)$$

З урахуванням сферичної симетрії хвильову функцію зручно шукати у вигляді

$$\Psi_{nlm}(\mathbf{r}) = R_{nl}(r) Y_{lm}(\theta, \varphi), \quad (4)$$

де $Y_{lm}(\theta, \varphi)$ – сферичні функції, а для радіальної функції $R_{nl}(r)$ отримуємо систему рівнянь

$$\left\{ \frac{\partial^2}{\partial r^2} + \frac{2}{r} \frac{\partial}{\partial r} + \left[\frac{m_i}{\hbar^2} (E + V_i) \right] + \frac{\ell(\ell+1)}{r^2} \right\} R_{nl}^i(r) = 0, \quad (5)$$

$$i = 0, 1, \dots, N+1.$$

За початок відліку енергії вибираємо потенціальну енергію квазічастинки у зовнішньому середовищі. Тоді для $E < 0$ загальний розв'язок системи (5) матиме вигляд

$$R_{nl}^i(r) = A_i^\ell J_\ell(K_i r) + B_i^\ell N_\ell(K_i r), \quad (6)$$

$$i = 0, 1, \dots, N+1,$$

де

$$J_\ell(K_i r) = \begin{cases} j_\ell(k_i r), \\ h_\ell^+(i\chi_i r), \end{cases}$$

$$N_\ell(K_i r) = \begin{cases} n_\ell(k_i r), & V_i \geq |E|, \\ h_\ell^-(i\chi_i r), & V_i \leq |E|, \end{cases} \quad (7)$$

$$\ell = 0, 1, \dots, \infty, \quad i = 0, \dots, N+1.$$

Тут $j_\ell, n_\ell, h_\ell^\pm$ – сферичні функції Бесселя, Ноймана та Ганкеля відповідно, а

$$K_i = \begin{cases} k_i = \hbar^{-1} \sqrt{2m_i(V_i - |E|)}, & V_i \geq |E| \\ \chi_i = \hbar^{-1} \sqrt{2m_i(|E| - V_i)} = ik_i, & V_i \leq |E| \end{cases} \quad (8)$$

Ураховуючи умови неперервності хвильової функції електрона чи дірки та густини потоку ймовірності на всіх межах

$$\left. \begin{aligned} R_\ell^i(r) \Big|_{r=r_i} &= R_\ell^{i+1}(r) \Big|_{r=r_i} \\ \frac{1}{m_i} \frac{dR_\ell^i(r)}{dr} \Big|_{r=r_i} &= \frac{1}{m_{i+1}} \frac{dR_\ell^{i+1}(r)}{dr} \Big|_{r=r_i} \end{aligned} \right\} \quad (9)$$

$$i = 0, 1, \dots, N,$$

отримуємо дисперсійне рівняння для визначення спектра енергій E_{nl} . У результаті розв'язування системи рівнянь (9) знаходимо стаціонарний спектр E_{nl} , а з урахуванням умови нормування

$$\iiint \psi_{nlm}^*(\mathbf{r}) \psi_{n'l'm'}(\mathbf{r}) r^2 dr \sin \theta d\theta d\varphi = \delta_{nn'} \delta_{ll'} \delta_{mm'} \quad (10)$$

однозначно отримуємо весь набір хвильових функцій $\psi_{nlm}(\mathbf{r})$ дискретного спектра.

Для неперервного спектра для закритої системи ($E > 0$) чи будь-якої ділянки спектра відкритої системи розв'язок тих же рівнянь, з тими ж граничними умовами знаходимо через матрицю розсіювання S . А саме:

$$R_{k\ell}^i = k_i a_i [h_\ell^+(k_i r) + S_\ell^{(i)} h_\ell^-(k_i r)], \quad (11)$$

$$i = 0, 1, \dots, N+1,$$

де $k_i = \hbar^{-1} \sqrt{2m_i(U_i + E)}$. Якщо ввести позначення

$$\begin{aligned} \Phi_i(kr) &= h_\ell^+(kr) + S_\ell^{(i)} h_\ell^-(kr), \\ \bar{\Phi}_i(kr) &= H_\ell^+(kr) + S_\ell^{(i)} H_\ell^-(kr), \end{aligned} \quad (12)$$

$$H_i^+(kr) = k \left(\frac{\ell}{kr} h_\ell^+(kr) - h_{\ell+1}^+(kr) \right),$$

$$H_i^-(kr) = k \left(\frac{\ell}{kr} h_\ell^-(kr) - h_{\ell+1}^-(kr) \right),$$

то, аналогічно до (9), отримуємо систему рівнянь

$$\left. \begin{aligned} k_{i-1}a_{i-1}\Phi_{i-1}(k_{i-1}r_{i-1}) - k_i a_i \Phi_i(k_i r_{i-1}) &= 0 \\ \frac{1}{m_{i-1}}k_{i-1}a_{i-1}\bar{\Phi}_{i-1}(k_{i-1}r_{i-1}) - \frac{1}{m_i}k_i a_i \bar{\Phi}_i(k_i r_{i-1}) &= 0 \end{aligned} \right\} \int_0^\infty R_{lk}^*(r)R_{l'k'}(r)r^2 dr = \delta(k - k'). \quad (15)$$

$$i = 1, 2, \dots, N + 1. \quad (13)$$

У результаті розв'язування цієї системи рівнянь знаходимо аналітичний вираз для S_ℓ -матриці

$$S_\ell^{(0)} = 1,$$

$$S_\ell^{(i+1)} = \frac{\bar{\Phi}_i(k_i r_i)h_\ell^+(k_{i+1}r_i) - \Phi_i(k_i r_i)H_\ell^+(k_{i+1}r_i)}{\bar{\Phi}_i(k_i r_i)h_\ell^-(k_{i+1}r_i) - \Phi_i(k_i r_i)H_\ell^-(k_{i+1}r_i)},$$

де

$$S_\ell(k) \equiv S_\ell^{N+1}(k) \quad (14)$$

— S -матриця.

Згідно із загальною теорією, полюси $S_\ell(k)$ у комплексній площині $k = k_1 + ik_2$ визначають енергетичний спектр E_{nl} та тривалість життя τ_{nl} квазічастинки.

Оскільки у відкритій наносистемі квазічастинка може рухатись на безмежну відстань від її центра, то нормування радіальної частини хвильової функції здійснюється на δ -функцію [20]

Розраховуючи відповідні коефіцієнти

$$a_i = \frac{k_{i+1}}{k_i} \frac{m_i}{m_{i-1}} \frac{h_\ell^+(k_{i+1}r_i) + S_\ell^{(i+1)}h_\ell^-(k_{i+1}r_i)}{h_\ell^+(k_i r_i) + S_\ell^{(i)}h_\ell^-(k_i r_i)}, \quad (16)$$

$$i = 1, 2, \dots, N,$$

$$a_{N+1} = 1/\sqrt{2\pi}$$

отримуємо хвильові функції електрона в неперервно-му спектрі відкритої наносистеми у вигляді

$$\Psi_{k\ell m}(\mathbf{r}) = \sum_{i=0}^{N+1} k_i a_i [h_\ell^+(k_i r) + S_\ell^{(i)}h_\ell^-(k_i r)] \times Y_{\ell m}(\theta, \varphi)\sigma(r - r_i). \quad (17)$$

Проаналізуємо тепер спектри квазічастинок (електронів, дірок, екситонів), одержані в результаті розрахунків за наведеною теорією для наносистем, отриманих на основі напівпровідників β -HgS та β -CdS у воді. Такі системи створені експериментально [7–8]. Фізичні параметри матеріалів наносистеми зведені у таблицю 1.

	$m_e(m_0)$	$m_h(m_0)$	$a, \text{\AA}$	E_g, eV	V_e, eV	V_h, eV	ε_∞	ε_0
CdS	0.2	0.7	5.818	2.5	3.65	6.3	5.5	9.1
HgS	0.036	0.044	5.851	0.5	5.0	5.5	11.36	18.2
H ₂ O	1	∞	—	—	1.15	∞	1.78	81

Таблиця 1. Параметри складових наносистеми β -CdS/ β -HgS/H₂O.

Розраховані залежності енергетичних спектрів електронів, дірок та екситонів двошарової сферичної КТ CdS/HgS/H₂O наведено на рис. 2. З нього видно нові особливості, яких немає у простій одношаровій КТ. Вони такі.

Зі збільшенням товщини глибокої зовнішньої ями всі рівні електронів і дірок зміщуються в бік менших енергій так, що в ділянці $0 \leq E_{nl}^{e,h} \leq V_0^{e,h}$ вони плавно спадають, а у ділянці $V_0^{e,h} \leq E_{nl}^{e,h} \leq V_2^{e,h}$ виникає ефект антикросингу n -х і $n \pm 1$ -х рівнів. Антикросінги виникають там, де енергетичні рівні обох не взаємодіючих ям мали б перетинатися, якби ями були не зв'язані бар'єром скінченних розмірів.

Важливим новим моментом щодо простої закритої КТ є також те, що в цій наносистемі електрони та дірки можуть перебувати як в одному, так і в різних шарах. Отже, є 4 типи просторової локалізації квазічастинок:

- електрон і дірка в шарі (0);
- електрон і дірка в шарі (1);
- електрон у шарі (0), а дірка в шарі (1);

г) електрон у шарі (1), а дірка в шарі (0).

На рис. 3 наведено результат розрахунку залежності енергії E_{10}^{10} локалізованого екситона від товщини шару HgS. Спостерігається непогане узгодження з експериментальними даними [3] при трьох значеннях Δ_{HgS} , відзначених колами на кривій E_{10}^{10} . Ці екситонні стани відповідають, як видно із залежностей E_{10}^e і E_{10}^h , такому просторовому розташуванню електронів і дірок, при якому дірка знаходиться в ядрі CdS (пряма ділянка E_{10}^h), а електрон — у шарі HgS (похила ділянка E_{10}^e). На кривій залежності екситонної енергії від Δ_{HgS} спостерігаємо “горб” як прояв діркового антикросингу, при якому дірка з ядра CdS переміщується в шар HgS. На жаль, експериментальні дані для цієї ділянки товщин у цитованій праці [3] відсутні.

У закритій тришаровій сферичній КТ із двома квантовими ямами (HgS/CdS/HgS/CdS), як видно з рис. 4, виникають такі нові особливості:

Антикросінг існує в усій ділянці енергій $E_{nl}^{e,h} \leq V_0^{e,h}$, де стани стаціонарні.

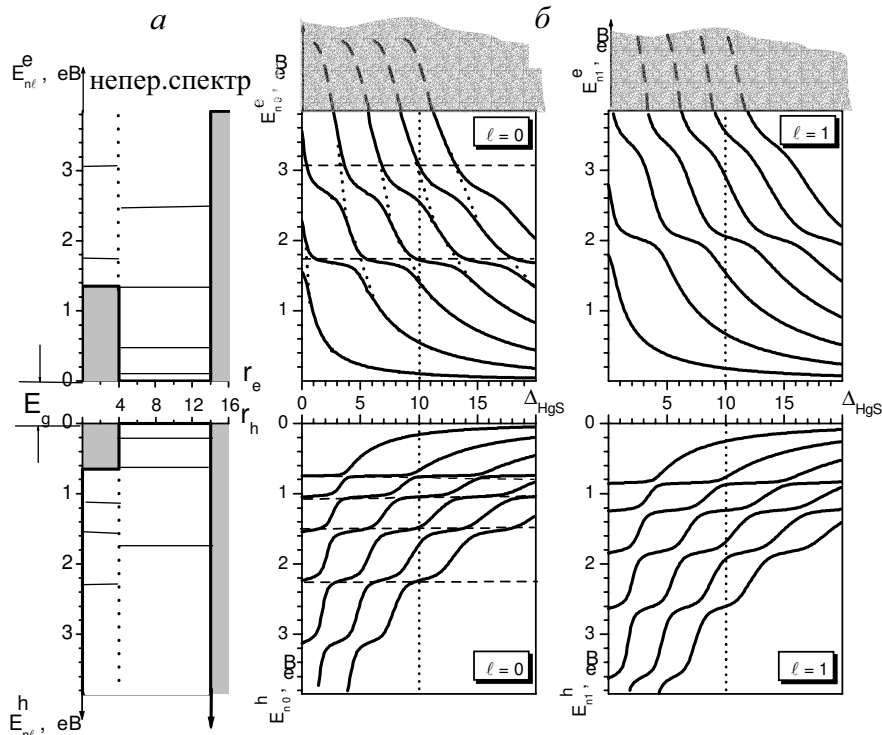


Рис. 2. а — геометрична та потенціальна схеми БСКТ CdS/HgS/H₂O; б — залежність електронного та діркового спектрів від Δ_{HgS} при r₀ = 5a_{CdS}.

Як і у двошаровій системі, утворюються такі ж чотири типи локалізованих екситонних станів із різними просторовими розміщеннями електронів та дірок. Але у випадку великих товщин шару бар'єра (Δ_{CdS}) електрони й дірки далеко розділені у просторі, тому їх кулонівська взаємодія дуже мала, а дипольний момент великий.

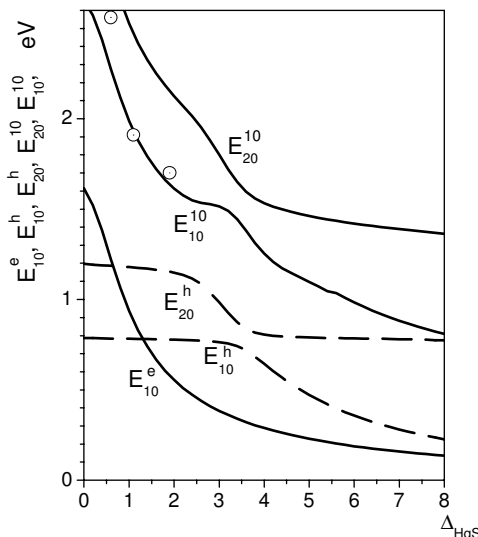


Рис. 3. Залежність енергій електрона, дірки та екситона від товщини шару HgS при r₀ = 4.7 нм.

Дослідження закритих сферичних КТ із більшою кількістю шарів не вносить принципово нових особливостей в інформацію про спектр локалізованих квазічастинок.

Нові особливості у спектрах квазічастинок з'являються у відкритих сферичних квантових точках, оскільки можливість проникнення квазічастинок крізь потенціальні бар'єри дозволяє їм рухатись на безмежну відстань від центра, що приводить до появи скінченної тривалості життя τ_{nl} у всіх станах з енергією E_{nl}.

Розрахунок енергій E_{nl} та тривалості життя τ_{nl} виконано для однобар'єрної HgS/CdS/HgS (рис. 5) та двобар'єрної HgS/CdS/HgS/CdS/HgS сферичних квантових точок (рис. 6).

Характерний вигляд дійсної й уявної частин S-матриці, полюси якої у комплексній площині енергій визначають енергію (E_{nl}) і півширину (Γ_{nl}) енергетичної зони, наведені на рис. 7. Півширина Γ_{nl} пов'язана з тривалістю життя τ_{nl} квазічастинки у відповідному стані співвідношенням

$$\tau_{nl} = \hbar/\Gamma_{nl}. \quad (18)$$

Головні властивості спектра E_{nl}^e та тривалості життя τ_{nl}^e електрона залежно від розмірів ядра-ями (HgS) при фіксованій товщині шару-бар'єра Δ(CdS) відкритої однобар'єрної системи видно з рис. 8. Ці властивості такі.

На відміну від закритих систем, де є дискретний спектр зі стаціонарними станами, у відкритих системах увесь спектр квазістаціонарний із двома ділянками енергій, яким відповідають стани з великою і малою тривалістю життя τ_{nl} відповідно. У тонованій ділянці енергій (E < V₁^e), нижче від потенціального бар'єра, стани є резонансними квазістаціонарними типу Брейта-Вігнера.

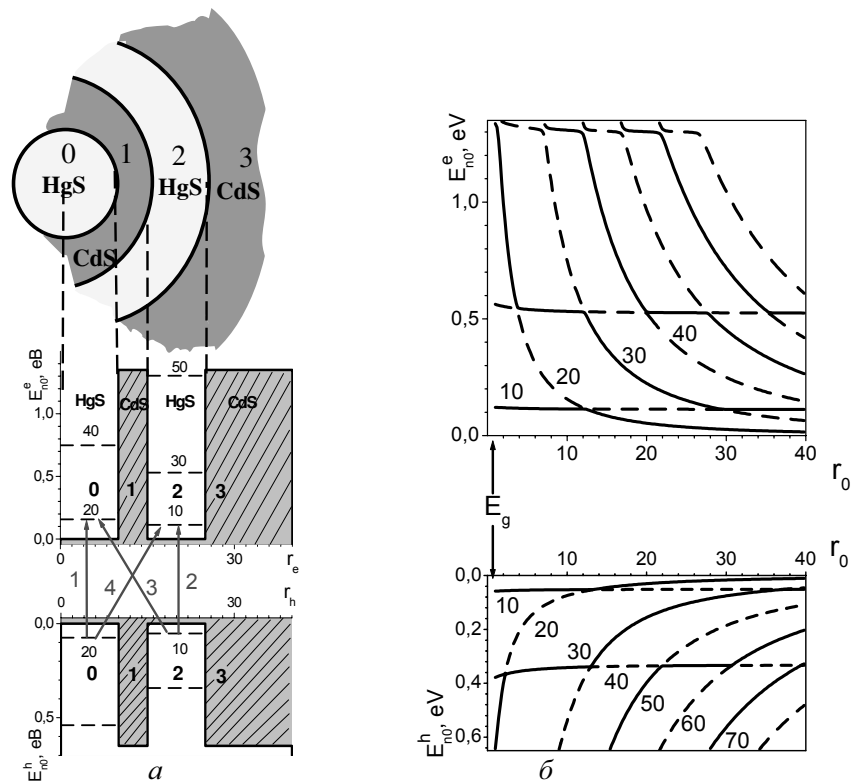


Рис. 4. а — геометрична та потенціальна схема БСКТ HgS/CdS/HgS/CdS; б — залежність електронного та діркового спектрів від r_0 при заданій товщині бар'єра $\Delta_1 = 5a_{CdS}$ та розмірі другої ями $\Delta_2 = 10a_{HgS}$.

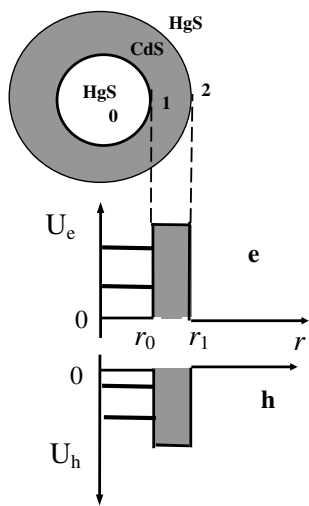


Рис. 5. Геометрична та потенціальна схеми відкритої БСКТ HgS/CdS/HgS.

Зі збільшенням радіуса ями (r_0) величини енергій E_{nl} плавно зменшуються, а тривалість життя різко зростає. У нетонованій ділянці енергій $E > V_1^e$ вище від потенціального бар'єра існують короткоживучі резонансні стани з малою тривалістю життя τ_{nl}^e . Для них характерний антикросинг у залежності E_{nl}^e від r_0 , що корелює з відповідними максимумами на залежностях τ_{nl}^e від r_0 . Фізична причина цих особливостей у тому, що при таких значеннях r_0 здійснюється перерозподіл густини ймовірності знаходження квазічастинки з ядра (0) в оболонку (1) і навпаки. Тому

збільшення r_0 приводить до “заглиблення” рівня під бар'єр, а отже, й до регулярного збільшення тривалості життя. Проте коли квазічастинка потрапляє в ділянку r_0 , де E_{nl}^e ближче до горизонтальних ділянок енергії, там вона з більшою ймовірністю перебуває в ділянці шару-бар'єра, звідки швидше проникає в зовнішнє середовище, а тому тривалість її життя тут трохи зменшується. Це й зумовлює відповідні максимуми на кривих залежності τ_{nl}^e від r_0 у нерезонансних станах.

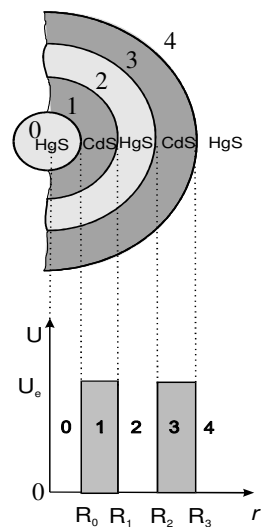


Рис. 6. Геометрична та потенціальна схеми відкритої БСКТ HgS/CdS/HgS/CdS/HgS.

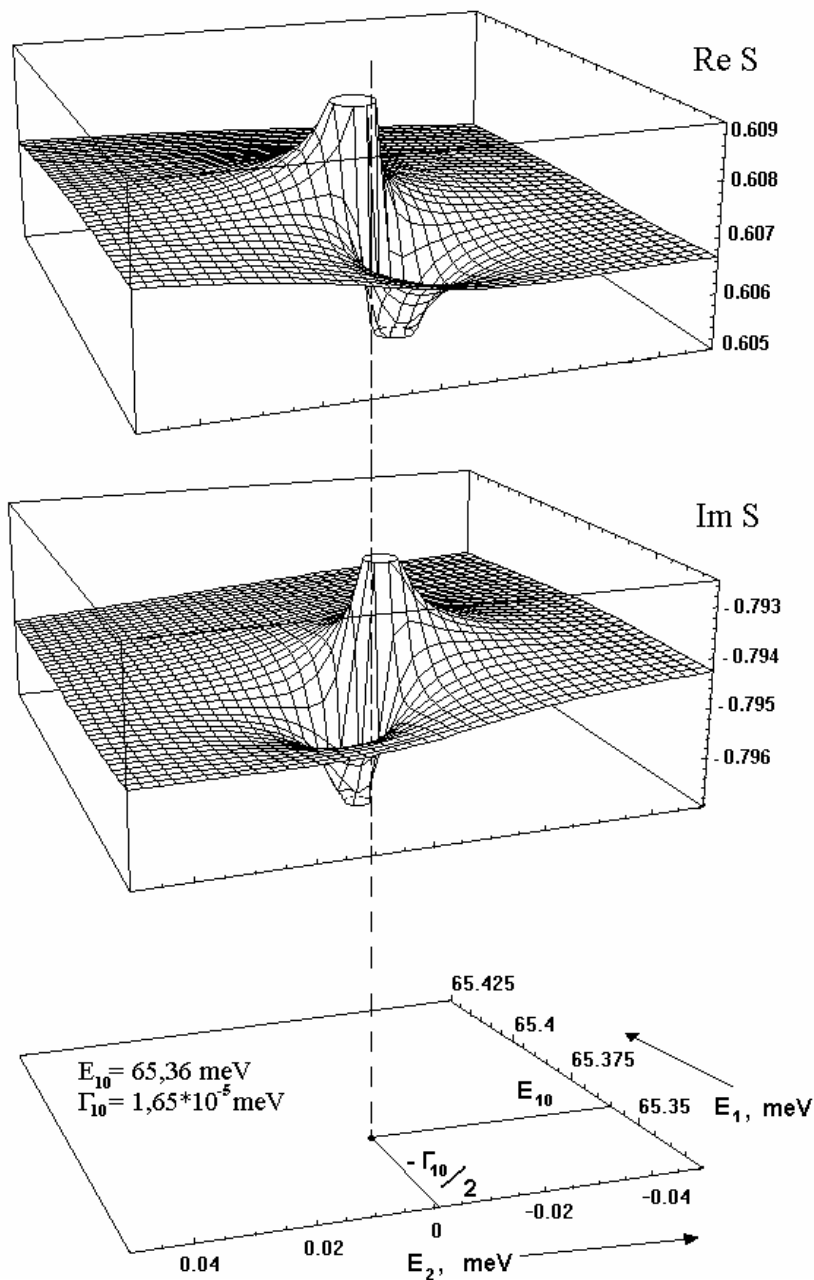


Рис. 7. Дійсна та уявна частини S -матриці в околі полюса $E = E_{10} - i\Gamma_{10}/2$.

Спектри й тривалість життя квазічастинки у двоямній і двобар'єрній відкритій сферичній КТ відрізняється від одноямної системи тим принципово новим моментом, що в цій наносистемі антикросинг спостерігаються у всій ділянці енергій (рис. 9а). Квазістаціонарні стани двобар'єрної наносистеми поділяються на довго- та короткоживучі. Стани, у яких квазічастинка локалізована у внутрішній ямі (ядрі), є більш довгоживучими, ніж стани, у яких вона в основному перебуває в зовнішній ямі. Оскільки із зовнішньої потенціальної ями їй легше тунелювати через один

потенціальний бар'єр, то вона може за менший час вийти з наносистеми, рухаючись на нескінченну відстань від центра.

На рис. 10, 11 наведено залежності густини радіальної ймовірності знаходження квазічастинок (ρ_{10}^e , ρ_{10}^h) від r при кількох значеннях r_0 . З рисунка видно, як зі збільшенням r_0 електрон та дірка поступово переходять із другої у першу яму (переміщується максимальне значення густини ймовірності ρ). При цьому ρ_{10}^e у зовнішньому середовищі має осцилюючий характер.

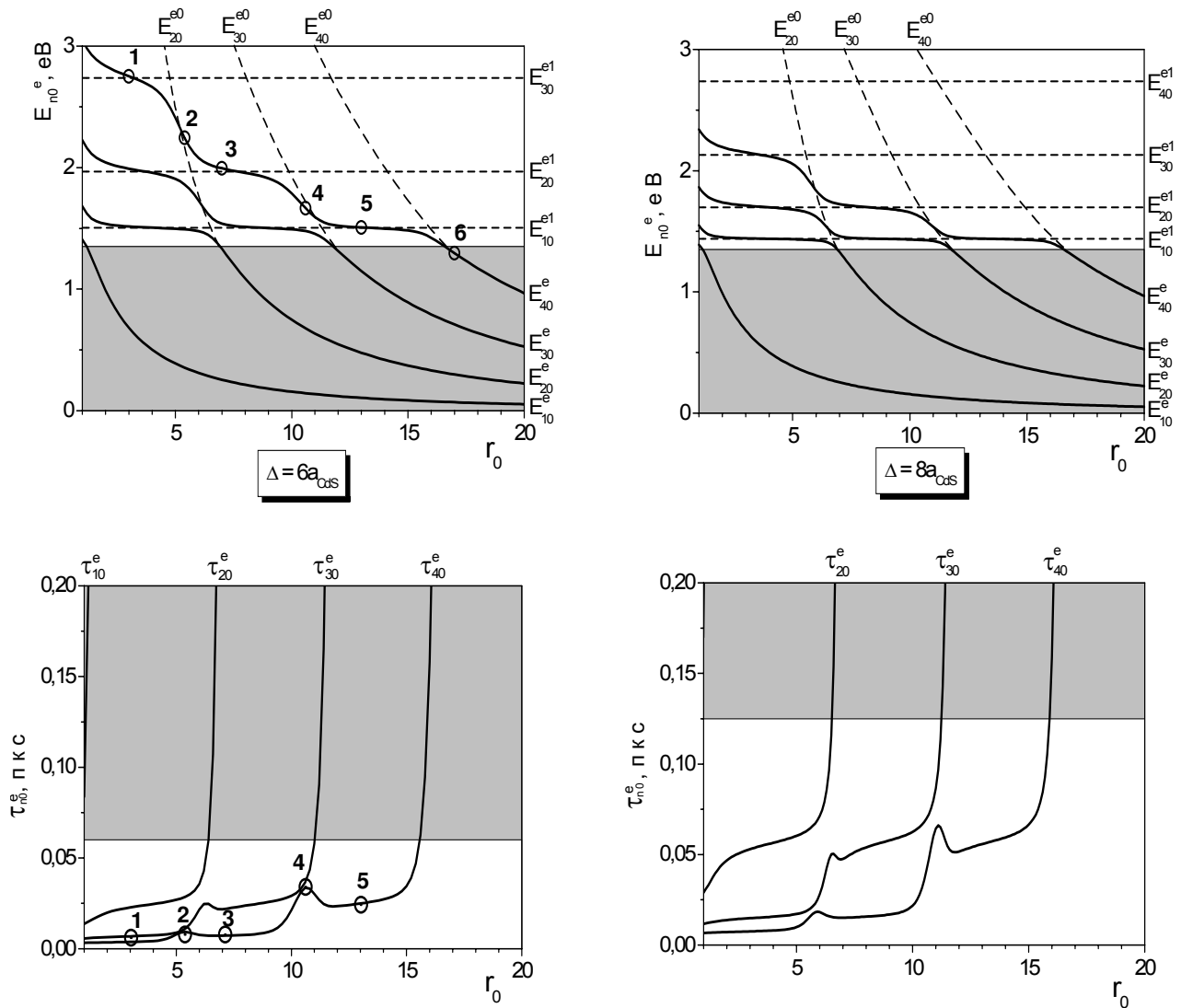


Рис. 8. Залежності енергетичних рівнів і тривалости життя електрона від розміру ядра для різних розмірів шару-бар'єра Δ при $\ell = 0$.

На рис. 12 наведена схема потенціальної енергії електрона та положення резонансних рівнів E_{n0}^e , а на рис. 13 — залежність τ_{n0}^e від товщини першого бар'єра Δ_1 . Як і слід було чекати, положення рівнів E_{n0}^e майже не залежить від величини Δ_1 , тому вони зображені відповідними лініями на схемі, а тривалість життя у станах (10, 30, 50), де квазічастинка перебуває у другій ямі, практично не залежить від Δ_1 , при цьому τ_{n0}^e у станах (20, 40), де квазічастинка перебуває у першій ямі, експоненційно зростають зі збільшенням Δ_1 .

Оскільки спектри та тривалість життя дірок мають такі ж властивості, як і електронів, то, відповідно, й екситонні стани в цій простій відкритій СКТ (рис. 5) є коротко- і довгоживучими резонансними станами типу Брейта-Вігнера (рис. 14).

Залежність усіх $E_{n'\ell'}^{n\ell}$ і $\tau_{n'\ell'}^{n\ell}$ від розміру ядра r_0 є складною (рис. 14). Усі $E_{n'\ell'}^{n\ell}$ містять пологі та спадні ділянки, які відповідають малим і великим значенням

$\tau_{n'\ell'}^{n\ell}$.

Пологим ділянкам $E_{n'\ell'}^{n\ell}(r_0)$ відповідають стани екситонів, у яких електрон та дірка, в основному, перебувають у зовнішньому шарі-ямі (2), внаслідок чого для виходу в зовнішнє середовище екситон долає лише зовнішній шар-бар'єр (3) за короткий проміжок часу (малі $\tau_{n'\ell'}^{n\ell}$).

Спадним ділянкам $E_{n'\ell'}^{n\ell}(r_0)$ відповідають стани екситонів, у яких електрон та дірка, в основному, перебувають у внутрішньому ядрі-ямі (0), внаслідок чого для виходу в зовнішнє середовище екситон долає два шари-бар'єри за тривалий проміжок часу (великі $\tau_{n'\ell'}^{n\ell}$).

На відміну від простої СКТ, у БСКТ ієрархія енергетичних рівнів і тривалости життя квазічастинки у всіх станах складним чином залежить від геометричних і фізичних параметрів складових наносистеми, тому кінцеві висновки залежать від структури БСКТ.

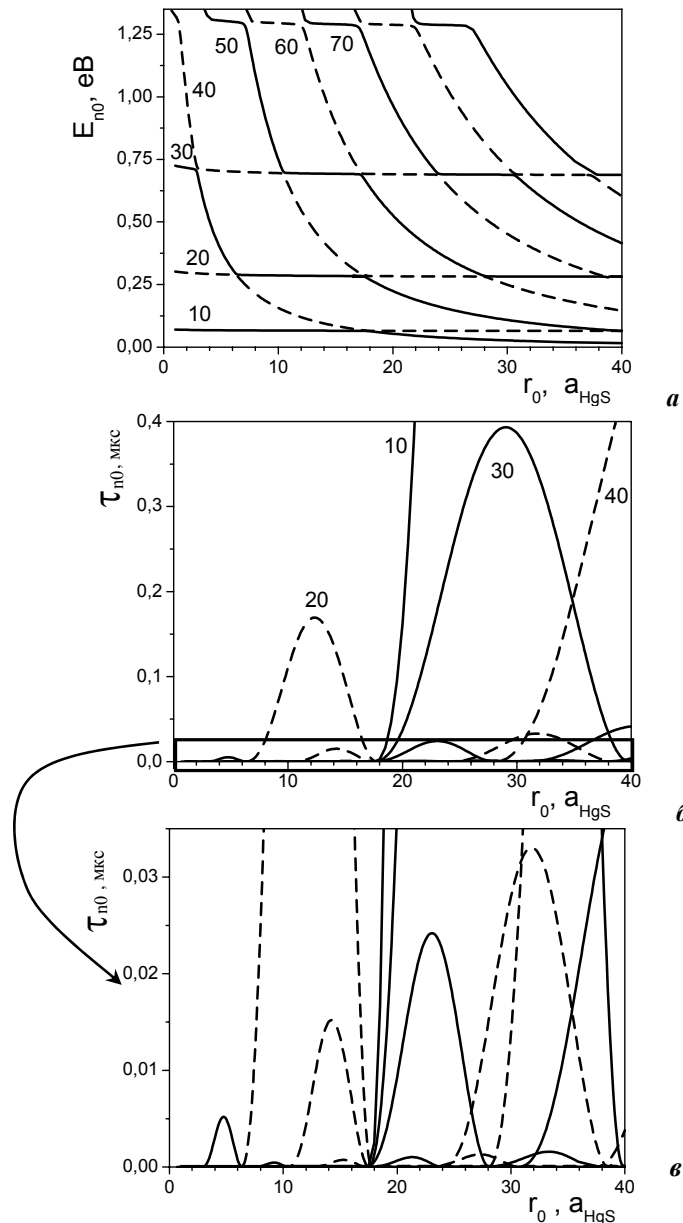


Рис. 9. Залежність енергії (E_{n0}) а) та тривалості життя (τ_{n0}) б), в) квазістаціонарних станів від радіуса (r_0) двобар'єрної відкритої СКТ.

II. СПЕКТРИ КВАЗИЧАСТИНОК У БАГАТОШАРОВИХ ЦИЛІНДРИЧНИХ КВАНТОВИХ ДРОТАХ

Теорія спектрів і хвильових функцій електронів, дірок, екситонів у багатошарових циліндричних квантових дротах (БЦКД) у моделі прямокутних потенціяльних ям й ефективних мас подібна до теорії БСКТ. Тут також існують відкриті та закриті системи. Аналітичний розв'язок рівняння Шредингера із застосуванням теорії S -матриці й числові розрахунки за допомогою ЕОМ дають змогу розраховувати стаціонарні й квазістаціонарні спектри та знайти хвильові функції електронів, дірок, екситонів у складних КД. Усі характерні риси спектрів нульвимірних БСКТ властиві й однодимірним БЦКД. Нові особливості, які отримуються для квазічастинок, у них такі:

1. Аксіальна симетрія й нескінченність КД приводить до того, що в цій системі квазічастинки характеризуються однодимірним квазіімпульсом k і двома квантовими числами n_ρ , m .

2. Унаслідок того, що ефективні маси електронів і дірок у різних шарах наносистеми різні, то при русі електронів і дірок у багатошаровому квантовому дроті виникає скорельована ефективна маса $\mu_{e,h}$.

3. Оскільки S -матриця залежить від однодимірного квазіімпульсу, то і спектр квазістаціонарних станів $E_{n_\rho m}(k)$, а отже, й тривалість життя $\tau_{n_\rho m}(k)$ виявляються залежними від величини квазіімпульсу. Причому, відповідно до фізичних міркувань, чим більший квазіімпульс, тим менша тривалість життя квазічастинки в цьому стані. Цей ефект можна використати для просторової сепарації квазічастинок за швидкостями.

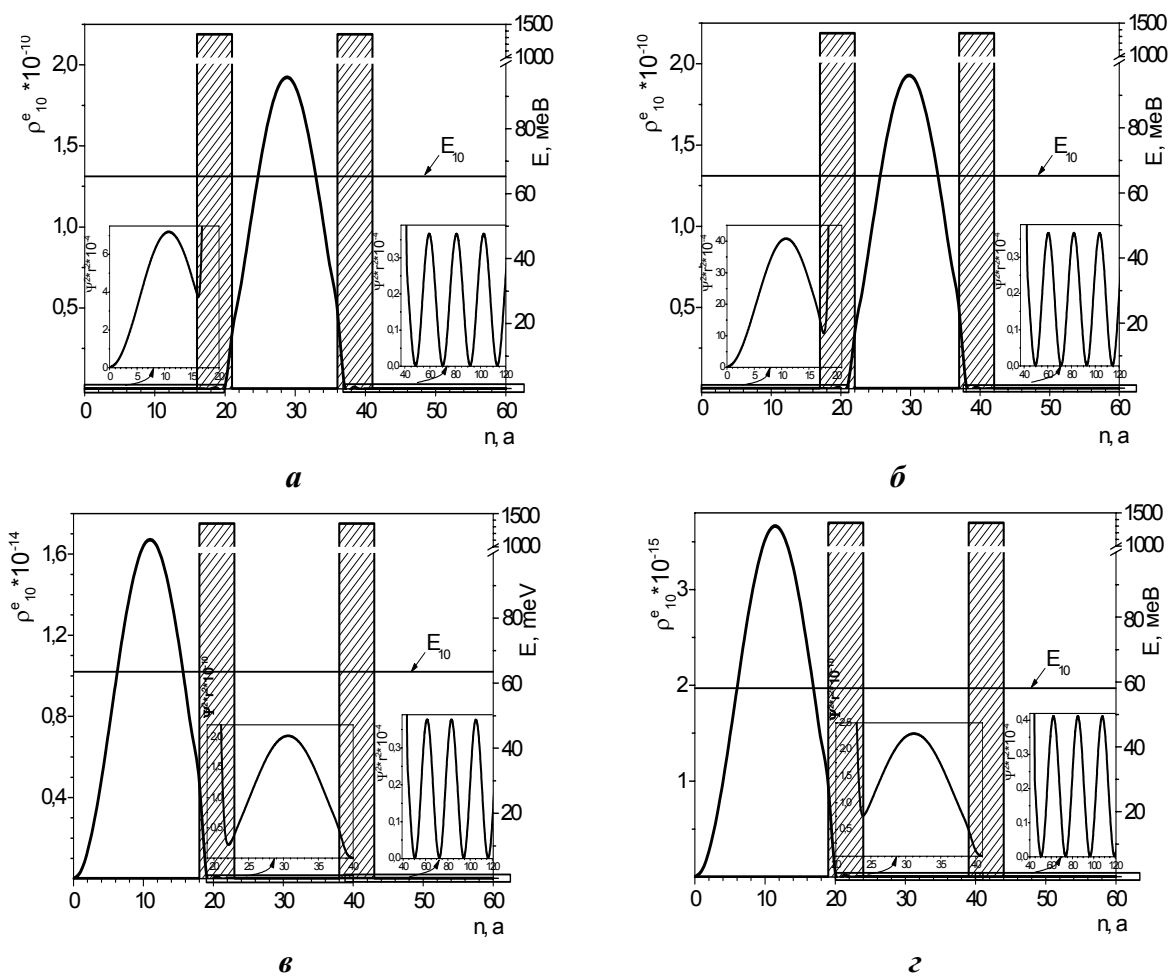


Рис. 10. Еволюція $\rho_{10}^e(r)$ залежно від радіуса ядра $r_0 = 16a_{\text{HGS}}$ (а), $17a_{\text{HGS}}$ (б), $18a_{\text{HGS}}$ (в) і $19a_{\text{HGS}}$ (г).

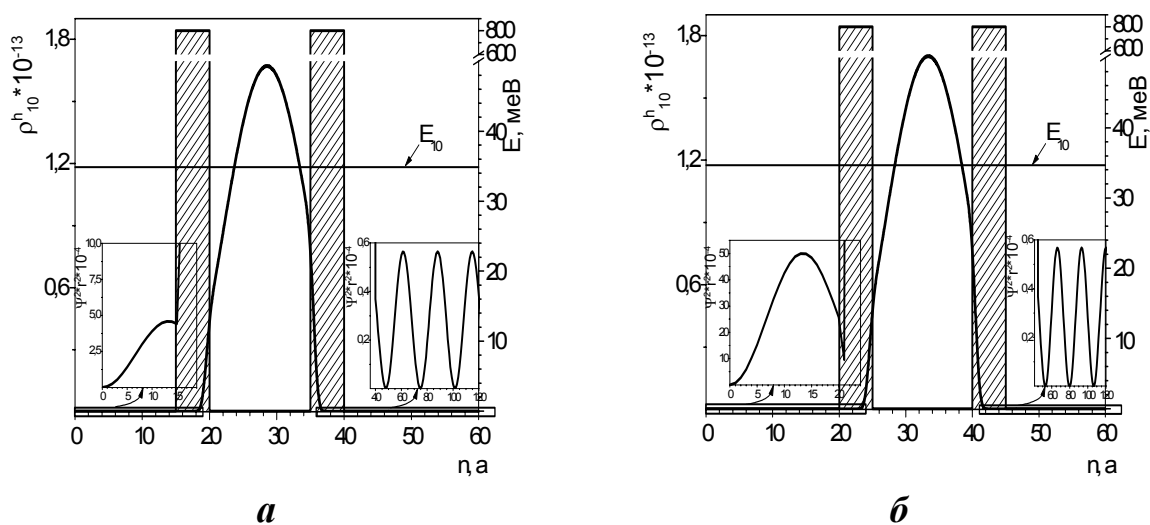


Рис. 11. Еволюція $\rho_{10}^h(r)$ залежно від радіуса ядра $r_0 = 15a_{\text{HGS}}$ (а), $20a_{\text{HGS}}$ (б).

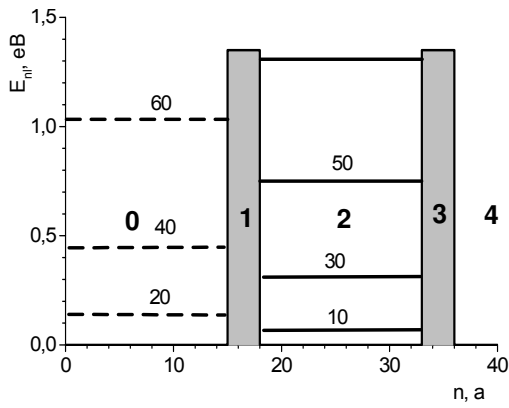


Рис. 12. Потенціальна схема й енергетичний спектр електрона у відкритій БСКТ з двома потенціальними ямами й бар'єрами.

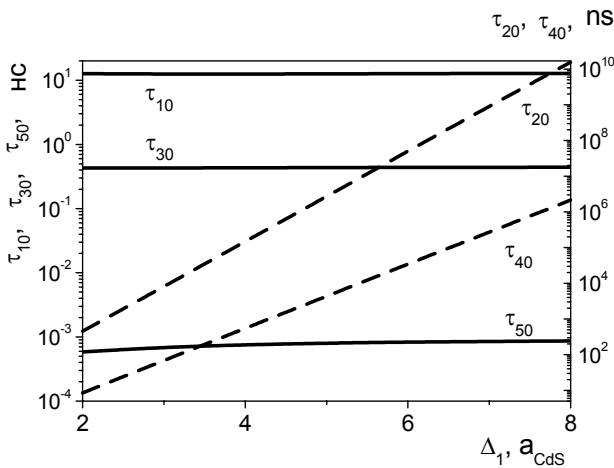


Рис. 13. Залежність тривалості життя квазістаціонарних станів електрона від товщини першого бар'єра відкритої БСКТ з двома потенціальними ямами й бар'єрами.

Теорія електронного спектра в БЦКД будується аналогічно до БСКТ. У тій же моделі прямокутних потенціалів й ефективних мас задача про спектр і хвильові функції розв'язується так.

Рівняння Шредингера для БЦКД (рис. 15) буде таким:

$$\left(-\frac{\hbar^2}{2} \nabla \frac{1}{\mu(\rho)} \nabla + U(\rho)\right) \Psi(\mathbf{r}) = E \Psi(\mathbf{r}), \quad (19)$$

де

$$\mu(\rho) = \begin{cases} \mu_0, & \rho < \rho_0; \quad \rho_1 < \rho, \\ \mu_1, & \rho_0 \leq \rho \leq \rho_1, \end{cases} \quad (20)$$

$$U(\rho) = \begin{cases} 0, & \rho < \rho_0; \quad \rho_1 < \rho, \\ U, & \rho_0 \leq \rho \leq \rho_1. \end{cases} \quad (21)$$

З урахуванням аксіальної симетрії розв'язок рівняння (19) шукаємо у вигляді

$$\Psi(\rho, \varphi, z) = \frac{1}{\sqrt{L}} R(\rho) e^{im\varphi} e^{ikz}, \quad (22)$$

$$m = 0, \pm 1, \pm 2, \dots, \quad (23)$$

де $R(\rho)$ — радіальна складова хвильової функції.

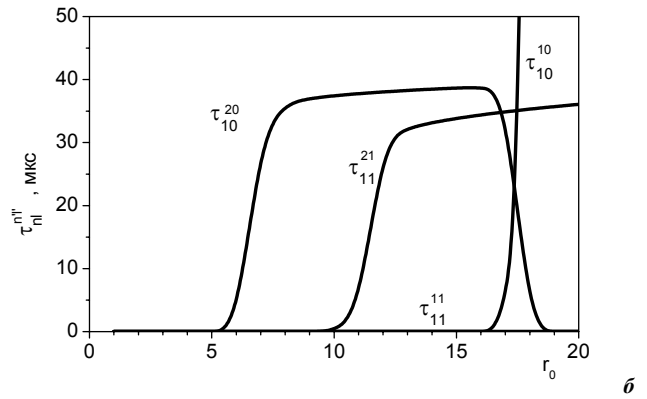
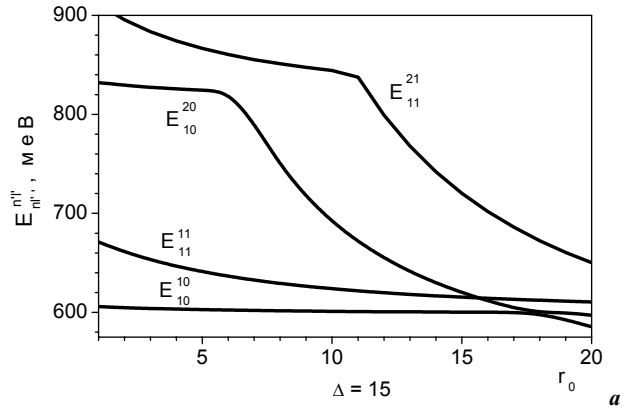


Рис. 14. Залежності енергій (E_{nl}) (а) та тривалості життя (τ_{nl}) (б) екситона від радіуса (r_0) квантової точки

У результаті підстановки (22) в (19) отримуємо рівняння для радіальної хвильової функції

$$\left\{ -\frac{\hbar^2}{2} \left[\frac{1}{\rho} \frac{\partial}{\partial \rho} \left(\frac{\rho}{\mu(\rho)} \frac{\partial}{\partial \rho} \right) - \frac{m^2}{\rho^2 \mu(\rho)} - \frac{k^2}{\mu(\rho)} \right] + U(\rho) - E \right\} R_{m,k}(\rho) = 0. \quad (24)$$

Із рівняння (24) видно, що магнетне квантове число m і квазіімпульс k виступають його параметрами, а отже, від них залежать і радіальні хвильові функції $R_{m,k}(\rho)$, які, враховуючи (21), слід шукати так:

$$R_{m,k}(\rho) = \begin{cases} R_{mk}^0(\rho), & \rho < \rho_0, \\ R_{mk}^1(\rho), & \rho_0 \leq \rho \leq \rho_1 \\ R_{mk}^0(\rho), & \rho > \rho_1 \end{cases} \quad (25)$$

Підстановка (25) у (24) приводить до трьох однотипних рівнянь

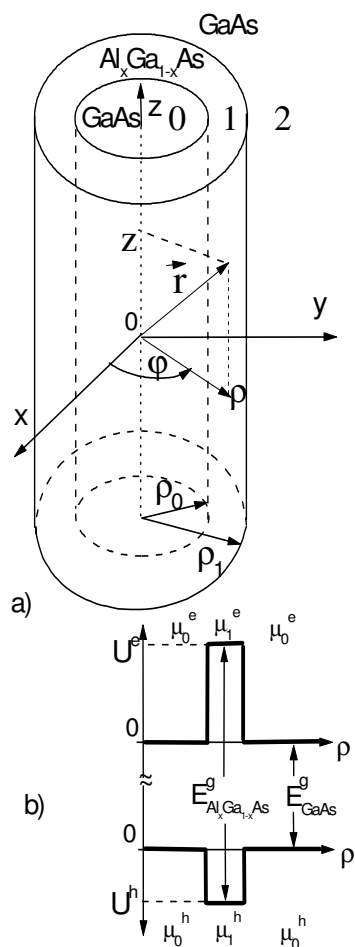


Рис. 15. Геометрична схема (а) і схема потенціальної енергії електрона й дірки (б) у відкритому БЦКД.

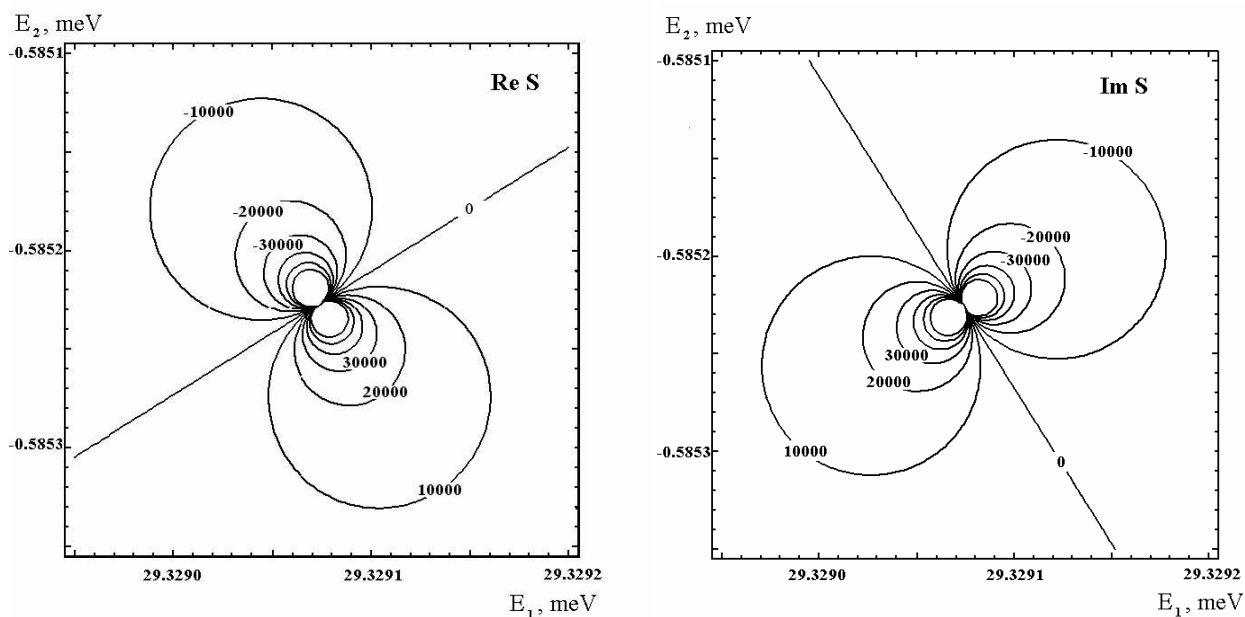


Рис. 16. Топограма функцій $\text{Re}(S)$ (а) та $\text{Im}(S)$ (б) у комплексній площині $E = E_1 + iE_2$.

$$\left[\frac{\partial^2}{\partial \rho^2} + \frac{1}{\rho} \frac{\partial}{\partial \rho} - \frac{m^2}{\rho^2} + \frac{2\mu_i}{\hbar^2} \left(E - U_i - \frac{\hbar^2 k^2}{2\mu_i} \right) \right] R_{mk}^i(\rho) = 0, \quad (i = 0, 1, 2), \quad (26)$$

розв'язками яких є лінійні комбінації функцій Ганкеля від різних аргументів

$$R_{mk} = \begin{cases} R_{mk}^0(\rho) = A_m^{(0)} [H_m^-(\chi_0 \rho) + H_m^+(\chi_0 \rho)], & \rho < \rho_0 \\ R_{mk}^1(\rho) = A_m^{(1)} [H_m^-(i\chi_1 \rho) + S_{mk}^1(E) H_m^+(i\chi_1 \rho)], & \rho_0 \leq \rho \leq \rho_1 \\ R_{mk}^2(\rho) = A_m^{(2)} [H_m^-(\chi_0 \rho) + S_{mk}(E) H_m^+(\chi_0 \rho)], & \rho > \rho_1, \end{cases} \quad (27)$$

де

$$\chi_0 = \sqrt{\frac{2\mu_0}{\hbar^2} E - k^2}, \quad \chi_1 = \sqrt{\frac{2\mu_1}{\hbar^2} (U - E) + k^2}. \quad (28)$$

Усі коефіцієнти A та обидві S -матриці (S_{mk}^1 , S_{mk}) однозначно визначаються умовами неперервності хвильової функції та потоку густини ймовірності на обох межах поділу середовищ, а також умовою нормування.

У результаті розрахунків для $S_{mk}(E)$ отримуємо складний аналітичний вираз. Досліджуючи за допомогою ЕОМ положення полюсів S -матриці в комплексній площині енергій (рис. 16), отримуємо енергії $E_{nm}^e(k)$ та тривалість життя $\tau_{nm}^e(k)$ квазістаціонарних станів електрона.

На рис. 17 і 18 наведено результати розрахунку енергій ($E_{nm}^e(k)$) і тривалости життя ($\tau_{nm}^e(k)$) електронів у квазістаціонарних станах БЦКД GaAs/Al_xGa_{1-x}As/GaAs, як функцій поздовжнього квазіімпульсу (k) при $\rho_0 = 15 a_{\text{GaAs}}$, $\rho_1 - \rho_0 = 5a$, $m = 0, 1$ та при фіксованих значеннях процентного вмісту Al $x = 0.2, 0.4$. Там же штриховими лініями зображені графіки законів дисперсії електрона в масивних напівпровідникових кристалах Al_xGa_{1-x}As і

GaAs, які є складниками досліджуваного БЦКД

$$E_{\text{Al}_x\text{Ga}_{1-x}\text{As}}^e = \frac{\hbar^2 k^2}{2\mu_e}, \quad E_{\text{GaAs}}^e = U^e + \frac{\hbar^2 k^2}{2\mu_e}. \quad (29)$$

Як видно з рис. 17, криві $E_{\text{GaAs}}(k)$ і $E_{\text{Al}_x\text{Ga}_{1-x}\text{As}}(k)$ поділяють площину (E, k) на три ділянки: I — ділянка ($E < E_{\text{GaAs}}(k)$), у якій S -матриця не має полюсів, і, відповідно, квазічастинки не мають тут жодних станів; II — ділянка ($E_{\text{GaAs}}(k) < E < E_{\text{Al}_x\text{Ga}_{1-x}\text{As}}(k)$), у якій при певних значеннях квазіімпульсу k S -матриця має полюси в площині комплексної енергії $\tilde{E} = E - i\Gamma/2$ з відмінними від нуля дійсною (E) й уявною ($\Gamma/2$) частинами, які визначають резонансну енергію і тривалість життя $\tau \sim \Gamma^{-1}$ квазічастинки в цьому квазістаціонарному стані; III — ділянка ($E > E_{\text{Al}_x\text{Ga}_{1-x}\text{As}}(k)$), у якій квазічастинки перебувають у квазістаціонарних станах континуального спектра енергій ($|S| = 1$).

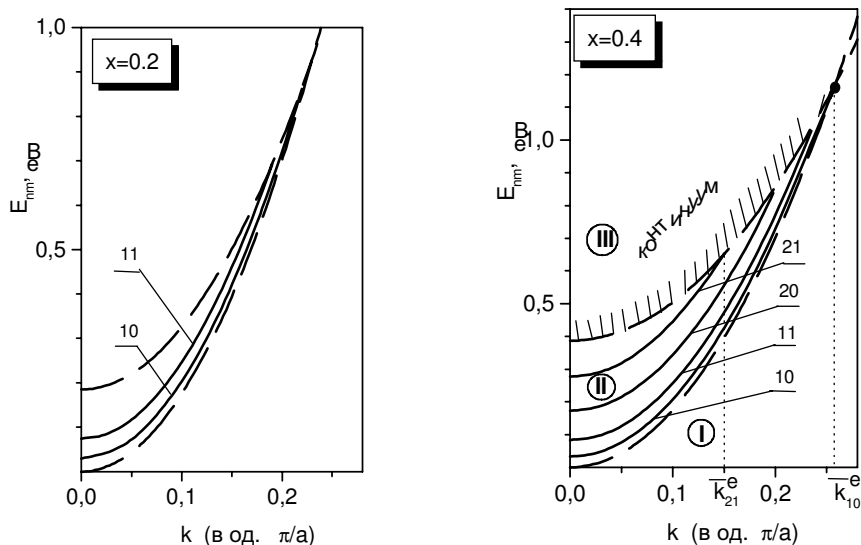


Рис. 17. Залежності резонансних енергій електрона (E_{nm}^e) від поздовжнього квазіімпульсу k при різних значеннях вмісту Al (x) ($\rho_0 = 15 a_{\text{GaAs}}$, $\rho_1 - \rho_0 = 5a$) у наносистемі GaAs/Al_xGa_{1-x}As/GaAs.

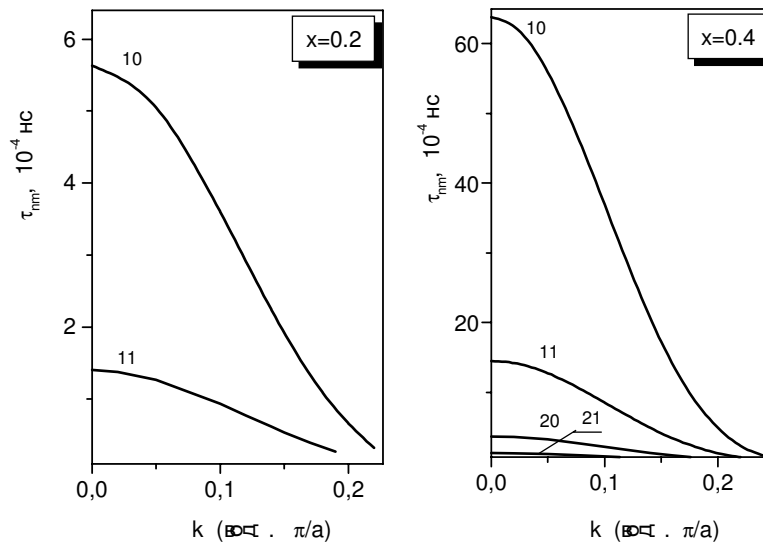


Рис. 18. Залежності тривалості життя (τ_{nm}^e) від поздовжнього квазіімпульсу k при різних значеннях процентного вмісту Al(x) у наносистемі GaAs/Al $_x$ Ga $_{1-x}$ As/GaAs.

Детально проаналізуємо квазістаціонарні стани електронів у найцікавішій ділянці П. Як видно, тут утворюється деяка кількість квазістаціонарних станів, перебуваючи в яких, електрон може здійснювати рух уздовж внутрішнього циліндра БЦКД з квазіімпульсом k . Кількість зон визначається геометричними розмірами СЦКД, ефективною масою й потенціальною енергією квазічастинки. Головні особливості $E_{nm}^{e,h}(k)$ такі: залежність енергії квазічастинки у всіх резонансних станах досить добре апроксимується квадратичним законом дисперсії

$$E_{nm}^e(k) = E_{nm}^e + \frac{\hbar^2 k^2}{2\mu_{nm}^e},$$

де E_{nm}^e визначаються розв'язками відповідних дисперсійних рівнянь при $k = 0$, а величини скорельованих ефективних мас електронів μ_{nm}^e дуже близькі до відповідних ефективних мас в Al $_x$ Ga $_{1-x}$ As (Таблиця 2).

x	0.2		0.4			
	10	11	10	11	20	21
N	1	2	1	2	3	4
μ_{nm}^e	0.0672	0.0684	0.0678	0.0686	0.0692	0.0703

Таблиця 2. Значення скорельованої ефективної маси електронів.

Зі збільшенням номера одновимірної зони (N) скорельована ефективна маса квазічастинки дещо зростає, оскільки при цьому зменшується “ефективна висота” потенціального бар'єра і квазічастинка все більше проникає в GaAs, де її ефективна маса більша, ніж у Al $_x$ Ga $_{1-x}$ As.

Усі зони резонансних енергій квазічастинок ($E_{nm}^e(k)$) характеризуються максимальним значенням поздовжнього квазіімпульсу \bar{k}_{nm}^e . Значення \bar{k}_{nm}^e визначаються з рівняння

$$E_{nm}^e(\bar{k}) = U^e + \frac{\hbar^2 (\bar{k}_{nm}^e)^2}{2\mu_1^e}, \quad (30)$$

причому, очевидно, що нижчим квазістаціонарним рівням відповідають більші значення \bar{k}_{nm}^e . Зі збільшенням концентрації x зростає висота потенціального бар'єра U^e , тому, як видно з (30), зростає максимальне значення квазіімпульсу електронів.

Важливою особливістю резонансного спектра квазічастинки у відкритому БЦКД є те, що тривалість життя ($\tau_{nm}^{e,h}$) квазічастинки в стані (nm) швидко зменшується зі збільшенням поздовжнього квазіімпульсу. Наприклад, як видно з рис. 18, тривалість життя електрона в стані |10> при $k = 0.25$ на два порядки менша, ніж при $k = 0$. Фізично це зрозуміло, оскільки зі збільшенням k зменшується “ефективна висота” потенціального бар'єра і квазічастинка з більшою ймовірністю проникає в забар'єрний простір БЦКД. Із цієї ж причини різко зменшується тривалість життя квазічастинок зі збільшенням енергій квазістаціонарних станів. Такі особливості резонансних спектрів, як видно з рис. 18, яскравіше проявляються при більших значеннях концентрації x , оскільки їм відповідають більш високі значення висоти потенціальних бар'єрів.

У зв'язку зі зазначеною особливістю відкритого БЦКД такі наносистеми можна використовувати як сепаратори квазічастинок за квазіімпульсами, тобто відсіювати (крізь бар'єр) швидкі і пропускати повільні квазічастинки, які рухаються у внутрішньому циліндрі — ямі.

На рис. 19 наведено результати розрахунку залежностей енергій E_{nm}^e та тривалості життя τ_{nm}^e електрона від товщини матеріялу-бар'єра при $k = 0$.

З рисунка видно, що зі збільшенням товщини бар'єра тривалість життя електрона експоненційно збільшується в усіх станах. У резонансних квазістаціонарних станах з енергією, близькою до висоти потенці-

льного бар'єра, помітно, що ця залежність стає дещо слабшою від експоненційної. При фіксованій товщині бар'єра тривалість життя тим більша, чим менша енергія відповідного стану. Це зрозуміло з фізичних міркувань, оскільки зменшення енергії квазічастинки

в певному стані еквівалентне збільшенню "ефективної потужності бар'єра", що перешкоджає її проникненню крізь бар'єр, а отже, збільшує тривалість життя у квантовій ямі.

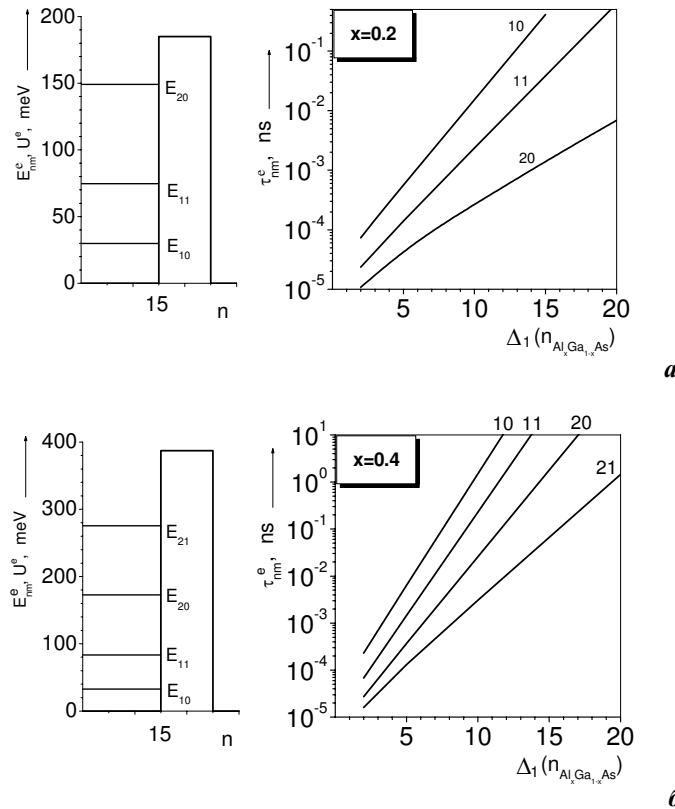


Рис. 19. Схеми положень резонансних енергетичних рівнів E_{nm}^e та залежності тривалості життя τ_{nm}^e від товщини бар'єра Δ_1 при $n_{GaAs} = 15$, $x = 0.2$ та $x = 0.4$.

III. ВИСНОВКИ

Загальні висновки такі. Модель ефективних мас і прямокутних потенціалів задовільно описує спектри електронів, дірок і екситонів як у закритих, так і у відкритих БСКТ та БЦКД. Отримані хвильові функції квазічастинки у закритих наносистемах є повними й тому придатними для побудови теорії взаємодії цих квазічасток із фононим і фотонним полем. Щодо

ж стосується відкритих наносистем, то використання S -матричного методу добре визначає резонансні енергії та тривалість життя у квазістаціонарних станах електрона й дірки, але цю теорію не можна безпосередньо застосувати до вивчення квазістаціонарних станів екситонів, а надто для вивчення взаємодії цих квазічастинки із фононим полем у наногетеросистемах. Остання задача є актуальною, і дослідження в цьому напрямку лише розпочинаються.

[1] М. Tkach, V. Holovatsky, O. Voitsekhivska, M. Mykhalyova, *Narrow Gap Semiconductors. Proceeding of the Ninth International Conference. Institute of Physics* (Humboldt University, Berlin, 2000).
 [2] М. Tkach, V. Holovatsky, O. Voitsekhivska, M. Mykhalyova, R. Fartushynsky, *Phys. Status Solidi B* **225**, 331 (2001).
 [3] Н. В. Ткач, В. А. Головацкий, О. М. Войцехивская, М. Я. Михальова, Р. Б. Фартушинский, *Физ. тверд. тела* **43**, 1315 (2001).
 [4] М. В. Ткач, В. А. Головацкий, О. М. Войцехивська, М. Я. Мінькова, *Укр. фіз. журн.* **44**, 385 (1999).
 [5] А. И. Екимов, А. А. Онущенко, *Физ. техн. полупр.* **16**, 1215 (1982).
 [6] Ал. Л. Эфрос, А. Л. Эфрос, *Физ. техн. полупр.* **16**, 1209 (1982).
 [7] D. Schooss, A. Mews, A. Eychmuller, H. Weller, *Phys. Rev. B* **49**, 17072 (1994).
 [8] A. Mews, A. V. Kadavanich, U. Banin, A. P. Alivisatos *Phys. Rev. B* **53**, 13242 (1996).
 [9] R. Buczko, F. Bassani, *Phys. Rev. B* **54**, 2667 (1996).
 [10] Н. В. Ткач, В. А. Головацкий, *Физ. тверд. тела* **41**,

- 2081 (1999).
- [11] Н. В. Ткач, В. А. Головацкий, О. Н. Войцеховская, Физ. техн. полупр. **34**, 602 (2000).
- [12] Н. В. Ткач, В. А. Головацкий, Физ. тверд. тела **43**, 350 (2001).
- [13] M. Tkach, V. Holovatsky, O. Voitsekhivska, Physica E **11**, 17 (2001).
- [14] M. Tkach, V. Holovatsky, O. Voitsekhivska, Ya. Bere-zovsky, Ukr. Phys. J. **46**, 859 (2001).
- [15] Н. В. Ткач, В. А. Головацкий, Я. М. Березовский, Изв. Акад. наук РФ, сер. физ. **68**, 120 (2004).
- [16] Л. Д. Ландау, Е. М. Лифшиц, *Квантовая механика. Нерелятивистская теория* (Наука, Москва 1989).
- [17] І. О. Вакарчук, *Квантова механіка* (Львівський державний університет ім. І. Франка, Львів, 1998).
- [18] S. N. Klimin, E. P. Pokatilov, V. M. Fomin, Phys. Status Solidi B **184**, 373 (1994).
- [19] M. C. Klein, F. Nache, D. Ricard, C. Flytzanis, Phys. Rev. B **42**, 11143 (1990).
- [20] А. И. Базь, Я. Б. Зельдович, А. М. Переломов, *Рассеяние, реакции и распады в нерелятивистской квантовой механике* (Наука, Москва, 1971).

QUASIPARTICLES SPECTRA IN MULTISHELL SEMICONDUCTOR NANOHETEROSYSTEMS

M. V. Tkach, O. M. Voitsekhivska, V. A. Holovatsky, O. M. Makhanets, A. M. Gryshchuk
Fedkovych Chernivtsi National University,
2, Kotsyubinskoho St., Chernivtsi, UA-58012, Ukraine
e-mail: theorphys@chnu.cv.ua

A general overview of the papers about the theory of quasiparticles spectra (electrons, holes, excitons) in the semiconductor closed and opened nanoheterosystems (spherical quantum dots, cylindrical quantum wires) is performed. The investigations are performed within the effective mass approximation and in the framework of rectangular potentials method. The latter are rather simple and they give a good correlation with the experimental data and are convenient for the study of interaction between quasiparticles and phonons in nanoheterosystems where other more detailed models have some mathematical problems.

In the paper the properties of the electron, hole and exciton spectra in complicated spherical quantum dots and cylindrical quantum wires are analyzed in detail. The physical reasons for the similarities and differences of quasiparticles spectra in closed and opened nanoheterosystems are established.